

# JAZYKY PETRIHO SÍTÍ

Formálně lze pojem jazyka Petriho sítě zavést s využitím zobecněné přechodové funkce P. sítě:

## Definice 1

Necht'  $N = (P, T, W, K, M_0)$  je Petriho síť a  $[M_0]$  její množina dosažitelných značení. Přechodovou funkcí P. sítě nazveme funkci  $\delta$ :

$$\delta: [M_0] \times T \rightarrow [M_0], \text{ pro kterou}$$

$$\forall t \in T \forall M, M' \in [M_0]: \delta(M, t) = M' \stackrel{\text{def.}}{\iff} M[t]M'$$

$\delta$  může být zobecněna na posloupnosti přechodů:

$$\delta: [M_0] \times T^* \rightarrow [M_0]$$

$$\delta(M, tz) = \delta(\delta(M, t), z), z \in T^*, t \in T$$

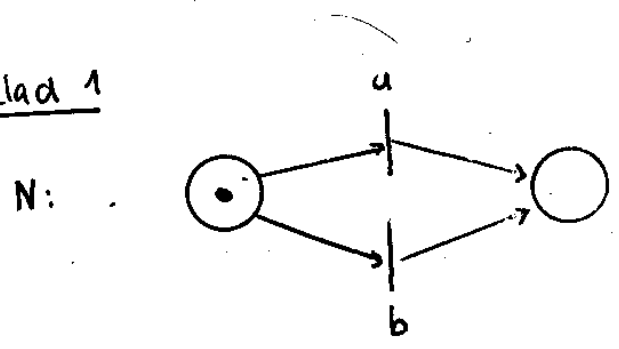
$$\delta(M, \epsilon) = M, \epsilon \text{ je prázdný řetězec}$$

takto:

Posloupnost (řetězec)  $z \in T^*$  nazveme vypočetní posloupností sítě  $N$ , je-li definována hodnota  $\delta(M_0, z)$ .

Množina všech výpočetních posloupností Petriho sítě  $N$  je základem pro definici jazyka Petriho sítě.

## Příklad 1



$$L(N) = \{\epsilon, a, b\}$$

## Definice jazyku Petriho sítě

Vadla množiny přechodů  $T$  zavedeme abecedu Petriho sítě <sup>$\Sigma$</sup>   
a ohodnocení (labeling) přechodů sítě  $\lambda$

$$\lambda: T \rightarrow \Sigma \cup \{e\}$$

Příslušnou Petriho síť nazveme ohodnocenou Petriho sítí

Podle tvaru  $\lambda$  rozlišujeme 3 typy ohodnocených P. sítí:

(1) Nejomezenější typ je dán injektivním ohodnocením  $\lambda$ :

$$\lambda: T \rightarrow \Sigma; \lambda(t) = \lambda(t') \Rightarrow t = t' \quad \forall t, t' \in T$$

Tyto sítě jsou označovány jako free-labeled nets

(2) Druhý typ nepřipouští ohodnocení prázdným symbolem  $e$ :

$$\lambda: T \rightarrow \Sigma$$

(3) Třetí typ připouští libovolné ohodnocení:

$$\lambda: T \rightarrow \Sigma \cup \{e\}$$

## Počáteční stav a počáteční místo P. sítě

Dosud jsme za počáteční stav P. sítě považovali libovolné počáteční značení  $M_0$ . Pro operace nad jazyky P. sítí je vhodné, aby počáteční stav byl spojen se značkou v jediném speciálním místě - počátečním (startovacím) místě  $p_0$ :

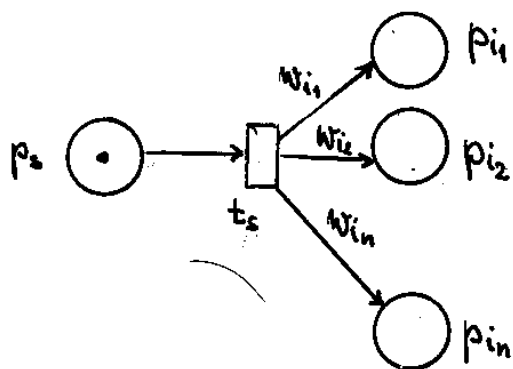
$$M_0(p_0) = 1 \wedge \forall p \in P \setminus \{p_0\}: M_0(p) = 0$$

Ukážeme, že tato modifikace fakticky neomezuje výběr počátečního stavu P. sítě.

Uvažujme lib. Petriho síť  $N = (P, T, F, W, k, M_0)$ .

Ekvivalentní síť  $N' = (P', T', F', W', k', M'_0)$  s počátečním místem  $p_s$  vytvoříme takto:

- (1)  $P' = P \cup \{p_s\}$
- (2)  $T' = T \cup \{t_s\}$
- (3)  $F' = F \cup F_{t_s}$ , kde  $F_{t_s} = \{ \langle p_s, t_s \rangle \} \cup \{ \langle t_s, p \rangle \mid M_0(p) \neq 0 \}$
- (4)  $W'$  je rozšíření funkce  $W$ :  
 $W'(p_s, t_s) = 1 \wedge W'(t_s, p) = k \Leftrightarrow M_0(p) = k$
- (5)  $k'$  je rozšíření  $k$ :  $k'(p_s) = 1$
- (6)  $M'_0: P \cup \{p_s\} \rightarrow \mathbb{N}$ ,  $M'_0(p_s) = 1 \wedge \forall p \in P: M'_0(p) = 0$



Při ohodnocení  $\lambda'(t_s) = c$  a  $\forall t \in T: \lambda'(t) = \lambda(t)$  jsou jazyky sítí  $N$  a  $N'$  shodné

## Koncové stavy a typy jazyků Petriho sítě.

Byly definovány 4 typy jazyků Petriho sítě:

$$\boxed{L, G, T, P}$$

v závislosti na konceptu koncového stavu sítě.

### Definice 2

Nechť  $N$  je Petriho síť s počátečním značením  $M_0$  a s vhodným přechodem  $\lambda: T \rightarrow \mathbb{Z} \cup \{e\}$ , s přechodovou funkcí

$$\delta: [M_0] \times T^* \rightarrow [M_0]$$

a s množinou koncových stavů (značení)  $Q_f \subseteq [M_0]$ .

Jazyk  $L(N) \subseteq \Sigma^*$  definovaný jako

$$\boxed{L(N) = \{ \lambda(\alpha) \mid \alpha \in T^* \wedge \delta(M_0, \alpha) \in Q_f \}}$$

se nazývá jazykem typu L.

Tato definice není zcela v souladu se základní filosofií P. sítě: je-li  $\delta(M, t)$  definována pro  $M$ , pak je také definována  $\delta(M', t)$  pro vš.  $M' \geq M$

### Definice 3

Nechť  $N$  je Petriho síť splňující předpoklady předchozí definice. Jazyk  $L(N)$  definovaný jako

$$\boxed{L(N) = \{ \lambda(\alpha) \mid \alpha \in T^* \wedge \exists M_f \in Q_f : \delta(M_0, \alpha) \geq M_f \}}$$

se nazývá jazykem typu G.

### Definice 4

Necht  $N$  je P. síť s počátečním značením  $M_0$ , s ohodnocením  $\lambda$  a přechodovou funkcí  $\delta$ .

(1) Jazyk  $L(N)$  definovaný jako

$$L(N) = \{ \lambda(\alpha) \mid \alpha \in T^* \wedge \delta(M_0, \alpha) \in [M_0] \wedge \forall t \in T \delta(\delta(M_0, \alpha), t) = \text{neodef.} \}$$

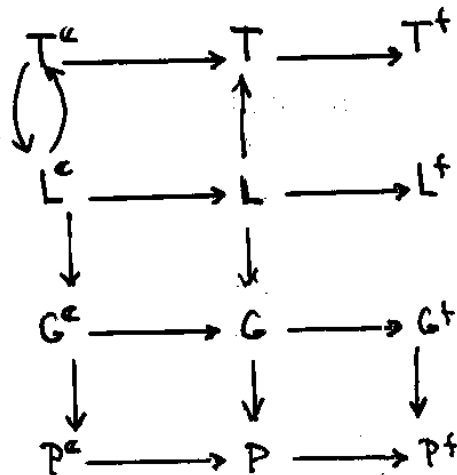
se nazývá jazykem typu T.

(2) Jazyk  $L(N)$  definovaný jako:

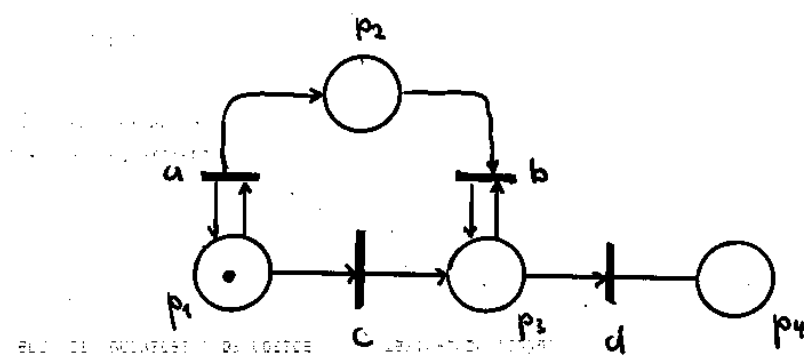
$$L(N) = \{ \lambda(\alpha) \mid \alpha \in T^* \wedge \delta(M, \alpha) \in [M_0] \}$$

se nazývá jazykem typu P.

Uvažujeme-li nyní 3 typy ohodnocení přechodů, pak existují 12 typů jazyků Petriho sítě. Některé vazj. vztahy ukazuje obrázek (graf):  $A \rightarrow B$  značí  $B \subseteq A$ ;  $\mathcal{L}^e$ , resp.  $\mathcal{L}^s$ , resp.  $\mathcal{L}^f$  značí třídu jazyků s ohodnocením  $\lambda: T \xrightarrow{A \supseteq B} \Sigma \cup \{e\}$ , resp.  $T \rightarrow \Sigma$ , resp.  $T \rightarrow \Sigma$  a  $\lambda$  je injektivní.



Příklad - ilustrace různých typů jazyků P. sítě



Položíme  $Q_f = \{(0, 0, 1, 0)\}$ ,  $M_0 = (1, 0, 0, 0)$

L-typ:

$$L = \{a^n c b^n \mid n \geq 0\}$$

G-typ:

$$L = \{a^m c b^n \mid m \geq n \geq 0\}$$

T-typ:

$$L = \{a^m c b^n d \mid m \geq n \geq 0\}$$

P-typ:

$$L = \{a^m \mid m \geq 0\} \cup \{a^m c b^n \mid m \geq n \geq 0\} \cup \{a^m c b^n d \mid m \geq n \geq 0\}$$

## Vlastnosti jazyků Petriho sítě typu L

### Standardní tvar Petriho sítě

Definice 5 Petriho síť  $N = (P, T, F, W, M_0, p_s, \Sigma, \lambda, P_f)$  nazveme ohodnocenou Petriho sítí ve standardním tvaru, jestliže

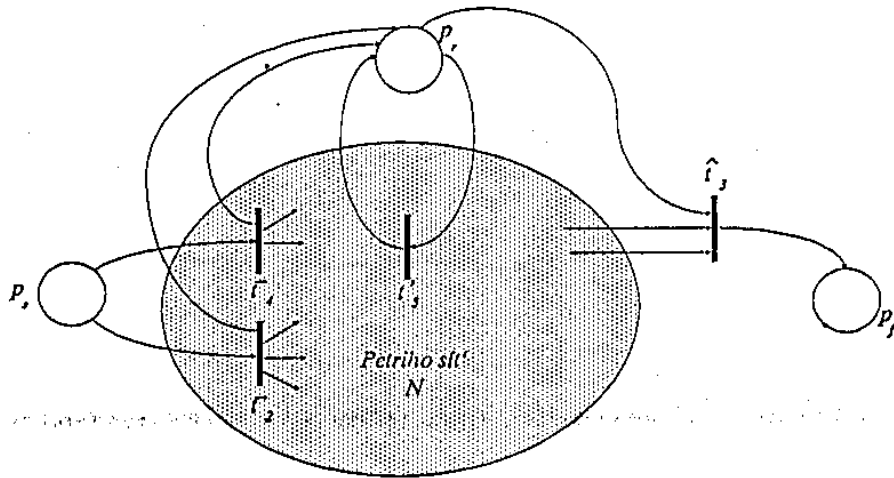
- (1) Složky  $P, T, F, W, M_0$  mají dosud užívaný význam
- (2)  $p_s \in P$  je počáteční místo takové, že
  - (a)  $M_0(p_s) = 1 \wedge \forall p \in P \setminus \{p_s\} : M_0(p) = 0$
  - (b)  $\forall t \in T : \langle t, p_s \rangle \notin F$
- (3)  $\lambda : T \rightarrow \Sigma$  je ohodnocení přechodů
- (4)  $P_f \subseteq P$  je množina koncových míst
  - (a)  $P_f = \begin{cases} \{p_t, p_s\} & \text{jestliže } e \in L(N) \\ \{p_t\} & \text{jinak } e \notin L(N) \end{cases}$
  - (b)  $\forall t \in T : \langle p_t, t \rangle \notin F$
  - (c) Je-li  $M(p_s) > 0$  pro nějaké  $M \in [M_0]$ , pak  $\delta(M, t)$  je nedefinována pro všechna  $t \in T$

### Věta 1

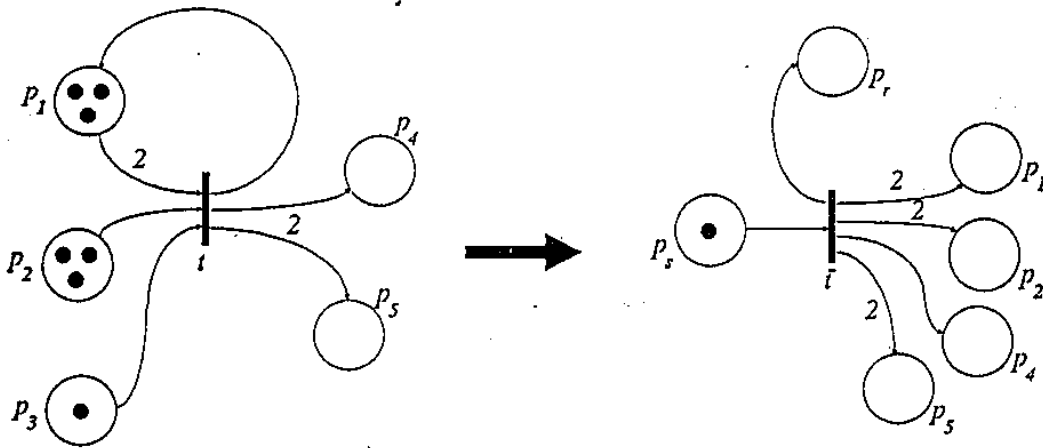
Ke každé ohodnocené Petriho sítí  $N$  (typu L) existuje ekvivalentní ohodnocená P. síť  $N'$  ve standardním tvaru taková, že  $L(N) = L(N')$ .

### Důkaz

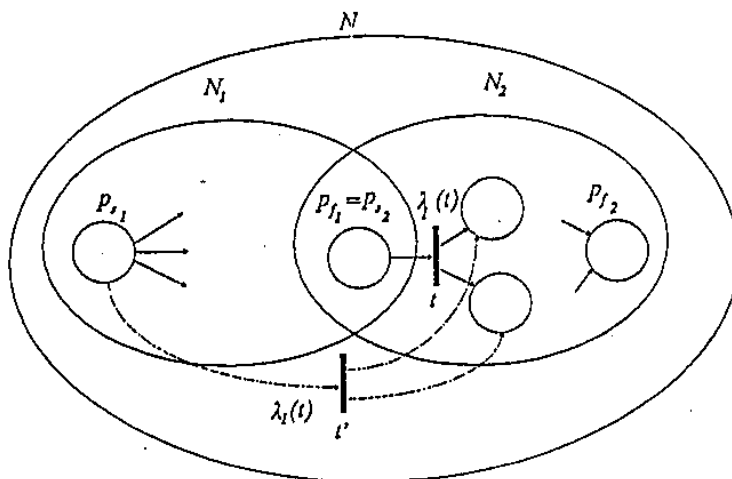
Viz skriptá



1. Konstrukce Petriho síť ve standardním tvaru



Konstrukce Petriho síť ve standardním tvaru - pokračování



Konkatenace Petriho síť.



## Uzavřerové vlastnosti

### Definice 6

Nechť  $x_1, x_2 \in \Sigma^*$  jsou dva řetězce nad abecedou  $\Sigma$  a necht'  $a, b \in \Sigma$ . Paralelní kompozici (spojení) dvou řetězců definujeme rekurentně:

$$ax_1 \parallel bx_2 = a(x_1 \parallel bx_2) + b(ax_1 \parallel x_2)$$

$$a \parallel a = a \parallel a = a$$

Paralelní kompozice  $L_1 \parallel L_2$  jazyků  $L_1$  a  $L_2$  je definována předpisem

$$L_1 \parallel L_2 = \{x \parallel y : x \in L_1 \wedge y \in L_2\}$$

### Příklad

Je-li  $L_1 = \{ab\}$  a  $L_2 = \{c\}$ , pak

$$L_1 \parallel L_2 = \{abc, acb, cab\}$$

### Věta 2

Jazyky Petriho síti (typu  $L$ ) jsou uzavřeny vzhledem k

- (1) sjednocení
- (2) konkatenaci
- (3) průniku
- (4) paralelní kompozici
- (5) reverzi jazyka

### Důkaz

viz skripta (konstrukce přísl.  $\mathcal{P}$  síti ve st. tvaru)

### Věta 3

Jazyky Petriho síti nejsou uzavřeny vzhledem operaci iterace.

Důležitou operací, popisující princip abstrakce (zjemnění) je operace substituce. Můžeme rozlišit 3 typy substituce

- (1) obecná substituce ( $L_a$  je lib. formální jazyk)
- (2) konečná substituce ( $L_a$  je konečný jazyk)
- (3) homomorfismus ( $L_a$  je tvořen jedním/m řetězcem)

#### Věta 4

Jazyky Petriho sítě nejsou uzavřeny vzhledem k obecné substituci.

#### Důkaz

Uvažujme jazyk

$L_c = \{a^n b^n \mid n \geq 1\}$  substituovaný do jazyka

$L = \{c^i \mid i \geq 1\}$

Výsledkem je jazyk

$L^1 = \{a^{m_1} b^{m_1} \dots a^{m_k} b^{m_k} \mid m_i \geq 1, k \geq 1\} = L_c^+$

což podle věty 3 není jazyk P. sítě.  $L_c$  i  $L$  však jsou jazyky P. sítě (viz dále).

#### Věta 5

Je-li  $L_1$  jazyk P. sítě a  $L_2$  jazyk regulární, pak jazyk  $L$ , který vznikne substitucí jazyka  $L_2$  do  $L_1$  je jazykem P. sítě.

## Vztah jazyků Petriho sítě k Chomského hierarchii jazyků

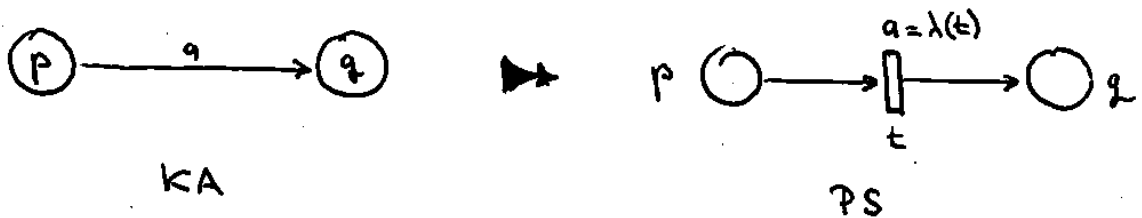
### Věta 5

Každý regulární jazyk je jazykem Petriho sítě

Důkaz.

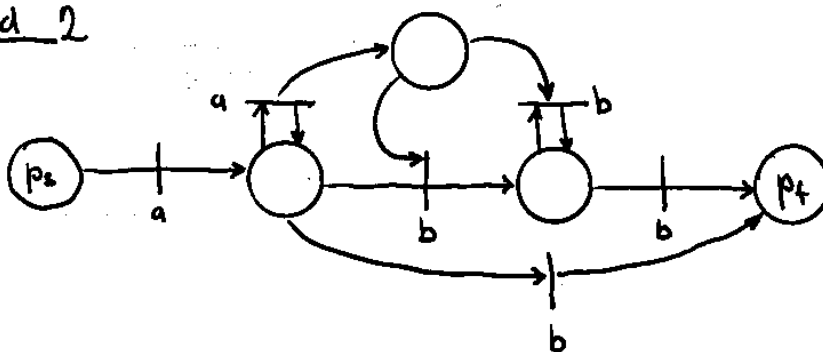
Je třeba ukázat, že ke každému kon. automatu  $M$  lze sestavit odpov. Petriho síť  $N$  tak, že  $L(M) = L(N)$ .

Princip konstrukce:

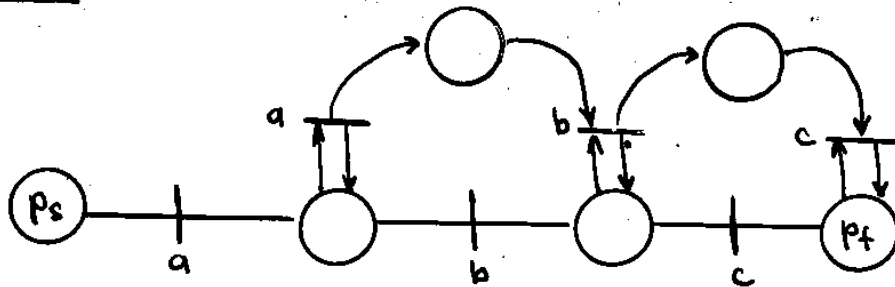


Studujme nyní vztah jazyků Petriho sítě k vyšším třídám Ch. hierarchie

### Příklad 2



$$L(N) = \{ a^n b^n \mid n \geq 1 \}$$

Příklad 3

$$L(N) = \{a^n b^n c^n \mid n \geq 1\}$$

Lemma 1

Jazyk  $L = \{ww^R \mid w \in \Sigma^*\}$  není jazykem Petriho sítě.

Důkaz

Nejprve odvodíme nutnou podmínku pro mohutnost st. prostoru P. sítě generující jazyk L.

Předpokl., že existuje síť N taková, že  $L = L(N)$ . Necht'  $|\Sigma| = k, k > 1$  a uvažujme řetězce  $xx^R \in L, |x| = r$ . Protože existují  $k^r$  možných řetězců x, musí st. prostor P. sítě obsahovat alespoň  $k^r$  různých stavů sloužících k jednozn. zapamatování struktury x. Skutečně, pokud by pro  $x_1, x_2$  platilo  $\mathcal{J}(M_0, x_1) = \mathcal{J}(M_0, x_2)$  pro  $x_1 \neq x_2$ , pak  $\mathcal{J}(M_0, x_1 x_2^R) = \mathcal{J}(\mathcal{J}(M_0, x_1), x_2^R) = \mathcal{J}(\mathcal{J}(M_0, x_2), x_1^R) = \mathcal{J}(M_0, x_2 x_1^R) \in Q_f$  a tedy  $x_1 x_2^R \in L$  pro  $x_1 \neq x_2$ , což je spor s definicí L.

Nyní ukážeme, že podmínka, aby provedení posl. délky r aktualizovalo lib. ze stavů množiny mohutnosti  $k^r$ , je nespílitelná. Uvažujme takovou posloupnost

$$M_0 \xrightarrow{[t_1]} M_1 \dots \xrightarrow{[t_r]} M_r$$

a předpokládejme, že množina T má mohutnost  $|T| = m$ .

Značení  $M_r$  můžeme vyjádřit ve tvaru :

$$M_r = M_0 + \underline{N} \cdot u$$

kde  $u: T \rightarrow \mathbb{N}$  je vektor se složkami  $u(t) = \{i \mid t_i = t \wedge 1 \leq i \leq r\}$

Zřejmě platí  $\sum_{t \in T} u(t) = r$ . V nejlépeším případě každý vektor

splňující tuto podmínku generuje různý stav  $M_r$ .

Kolik lze sestavit takových vektorů (ekvivalentní počtu rozkladů čísla  $r$  na  $m$  nezáporných celočíselných členů) ?

Z kombinatoriky je tento počet znám a roven číslu

$$\binom{r+m-1}{m-1}$$

Avšak

$$\binom{r+m-1}{m-1} = \frac{(r+m-1) \dots (r+1)}{(m-1)!} < (r+m)^m$$

Pro dostatečně velké  $r$  platí  $(r+m)^m < k^r$ , což je spor s požadovanou velikostí stav. prostoru.

Závěr

Nekompatibilita stav. prostorů P. sílí a zds. automatu.

P. sílí - kombinatoricky rostoucí poč. dostup. stavů

Z. automaty - exponenciálně — " —

Na druhé straně

odlišnosti " řízení "

ZA - vrchol záporníku

PS - lib. čítač (místo)

Definice 6

Bezkont. jazyk  $L$  se nazývá omezeným bezkont. jazykem (OBJ) jestliže existuje řetězec  $w_1, w_2, \dots, w_n \in \Sigma^*$  takové, že

$$L \subseteq w_1^* w_2^* \dots w_n^*$$

Pozn.: Jazyk  $(a+b)^+$

Věta 6

Třída omezených bezk. jazyků je nejmenší třída jazyků splňující podmínky:

- (1) Je-li  $B$  konečná podmnožina,  $B \subseteq \Sigma^*$ , pak  $B$  je OBJ
- (2) Jsou-li  $B_1$  a  $B_2$  OBJ, pak  $B_1 \cup B_2$ ,  $B_1 \cdot B_2$  jsou OBJ
- (3) Je-li  $B$  OBJ a  $x, y \in \Sigma^*$ , pak  $\{x^i B y^j \mid i, j \geq 0\}$  je OBJ

Věta 4

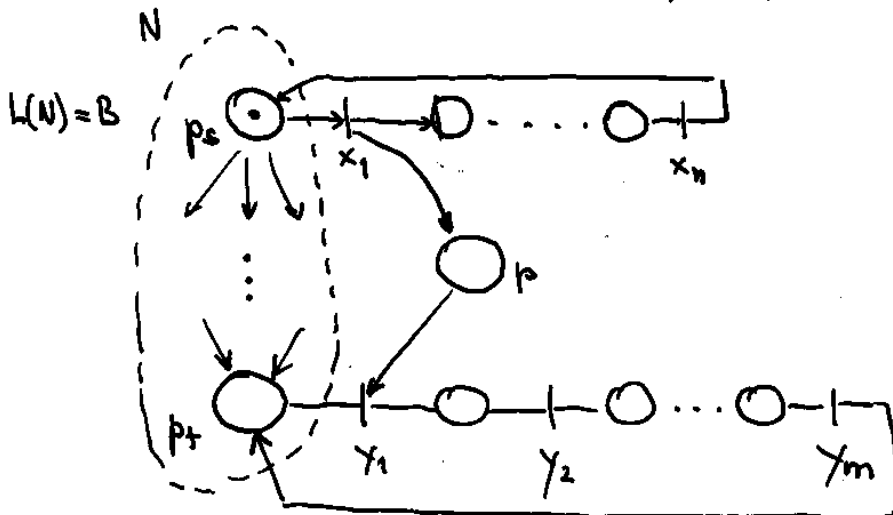
Každý OBJ je jazykem generovaným Petriho sítí

Důkaz

S využitím předchozí věty: ad 1, 2 platí

ad (3)

Nechť  $x = x_1 x_2 \dots x_n$ ,  $y = y_1 y_2 \dots y_m$



Věta 8

Všechny jazyky Petriho sítě jsou kontextové jazyky.

Důkaz.

$$L \subseteq \mathcal{L}_1 \wedge \mathcal{L}_1 \subseteq L$$

Ukažme, že jazyk  $L$  Petriho sítě může být přijmat lin. omezeným Turingovým strojem.

Nechť páska T. stroje uchovává značení každého místa sítě  $N$   
 Simulace přechodu?

Kvantifikujeme využívanou část pásky celkovým součtem  $S$   
 všech značek všech míst a vyšetříme, jak se tento součet  
 mění v závislosti na délce vst. řetězce.

Nechť vst. řetězci délky  $k \geq 1$  odpovídá vyp. posloupnost

$$t_1, t_2, \dots, t_k$$

Označme proměnou  $d_t$  počet značek, kterým přispívá přechod  $t$   
 k celkovému počtu značek sítě. Platí

$$d_t = \sum_{p \in t} W(t, p) - \sum_{p \in t} W(p, t)$$

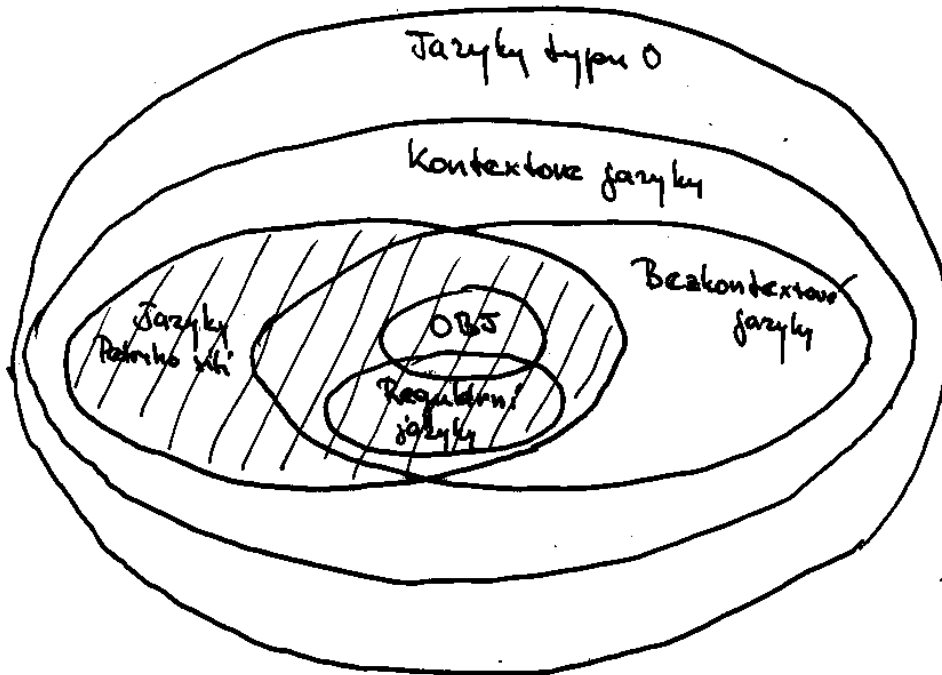
Pak veličinu  $S$  po provedení posloupnosti  $t_1, \dots, t_k$   
 lze vyjádřit ve tvaru  $S = 1 + \sum_{i=1}^k d_{t_i}$

z def. P. sítě plyne existence  $\max_{t \in T} d_t = m$  a hodnoty  
 $S$  lze ohraničit v závislosti na  $\underline{k}$  vstupního řetězce  
 funkcí

$$S(k) \leq 1 + k \cdot m,$$

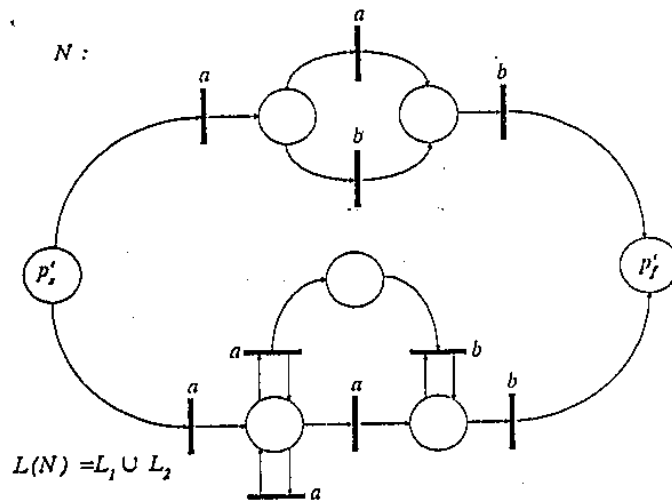
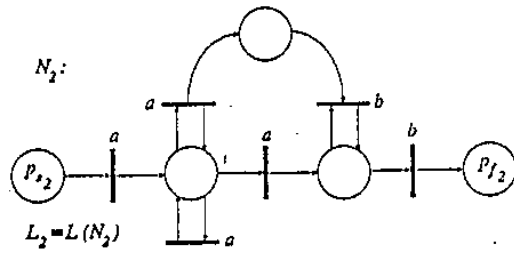
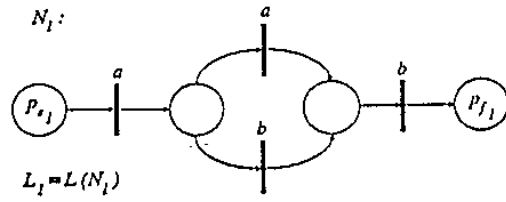
což je lin. funkce a přísl. T. stroj je tedy  
 lineárně omezený.

Graficky lze tedy pozici jazyků P. sítě v Ct. hierarchii vyznačit takto:

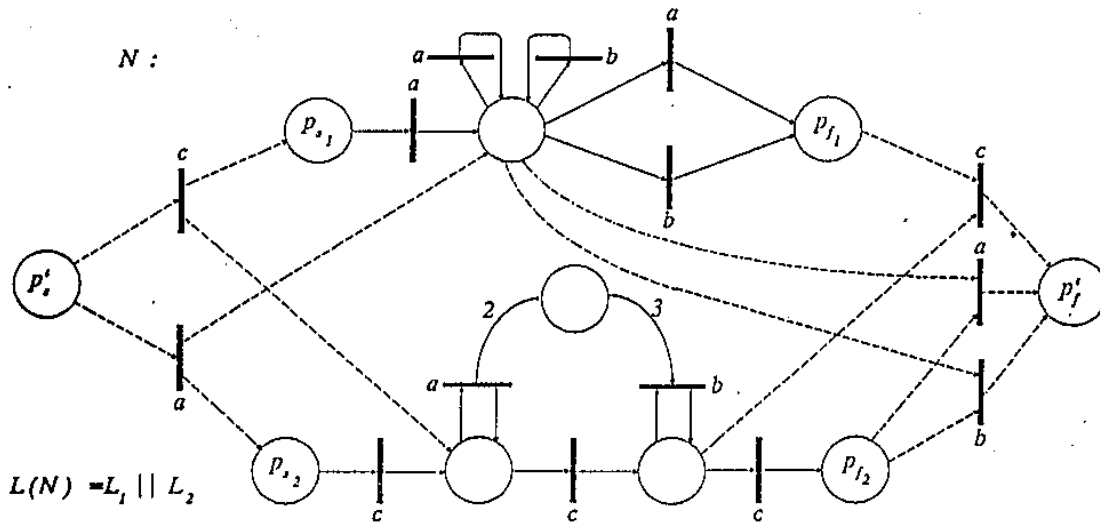


Otázka: Čím lze rozšířit modelovací schopnost P. sítě?

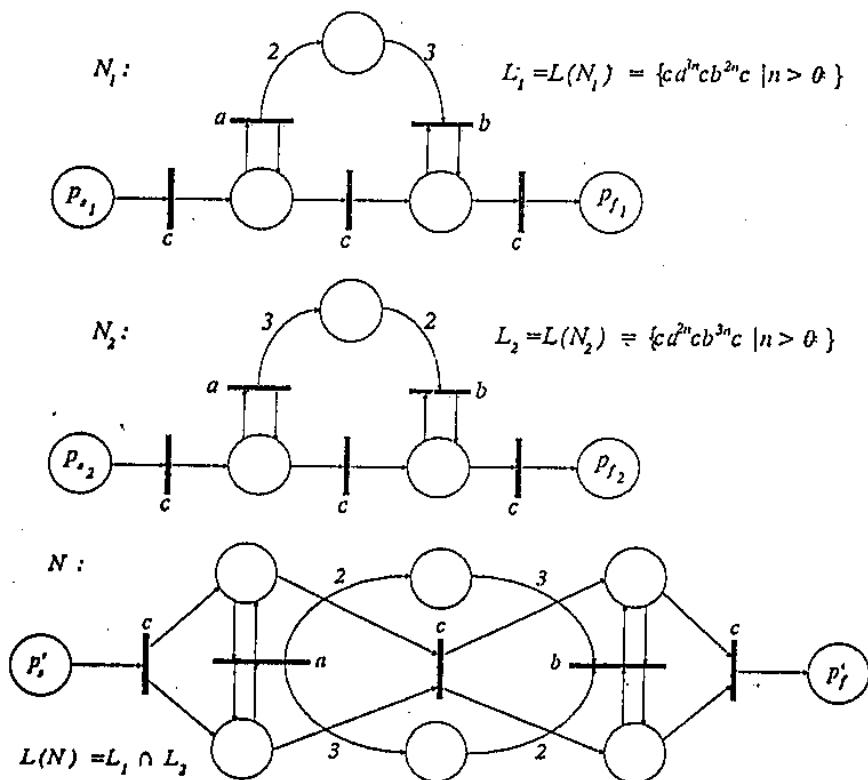




Ilustrace sjednocení Petriho sítí



Ilustrace paralelní kompozice dvou Petriho sítí



Ilustrace průniku Petriho sítí